

ОБЗОРЫ

©Коллектив авторов

CLEC-2-ИНДУЦИРОВАННАЯ ВНУТРИКЛЕТОЧНАЯ СИГНАЛИЗАЦИЯ В ТРОМБОЦИТАХ КРОВИ

А.А. Мартыанов^{1,2*}, В.Н. Канева^{1,3}, М.А. Пантелеев^{2,3}, А.Н. Свешникова^{1,2}

¹Московский Государственный Университет им. М.В. Ломоносова, Физический факультет, 119991, Москва, Ленинские горы, 1, стр. 2; *эл. почта: aa.martyanov@physics.msu.ru

²Центр Теоретических Проблем Физико-химической Фармакологии РАН, 119991, Москва

³Национальный медицинский исследовательский центр имени Д. Рогачева, 117997, Москва

Активирующий рецептор семейства лектиновых типа С (C-type lectin, CLEC), CLEC-2, был обнаружен на тромбоцитах человека около десяти лет назад. Известным эндогенным лигандом CLEC-2 является мембранный белок подопланин, экспонируемый клетками лимфатического эндотелия, ретикулярными фибробластами в лимфатических узлах, подоцитами почек, а также клетками некоторых опухолей. CLEC-2 и подопланин участвуют в метастазировании, сепсисе, развитии тромбозов глубоких вен. Сигнальный каскад CLEC-2 включает в себя ряд тирозинкиназ (Syk, SFK, Btk), а также адаптер LAT и фосфолипазу C γ 2, которая запускает кальциевую сигнализацию. CLEC-2 и подопланин, а также участники сигнального каскада CLEC-2, рассматриваются как мишени для антитромбоцитарной терапии.

Ключевые слова: тромбоцит; рецептор CLEC-2; тирозинкиназы; лимфангиогенез; метастазирование; подопланин

DOI: 10.18097/PBMC20186405387

ВВЕДЕНИЕ

Тромбоциты представляют собой фрагменты мегакариоцитов диаметром от 1 до 4 мкм. Хотя тромбоциты не имеют ядра и в зрелом состоянии не синтезируют новые белки, они сохраняют многие функциональные характеристики целых клеток. При нарушении целостности сосуда тромбоциты активируются и агрегируют друг с другом, перекрывая место повреждения, и, таким образом, предотвращая потерю форменных элементов крови [1].

На поверхности тромбоцитов присутствует множество разнообразных белков-рецепторов, обеспечивающих адгезию, агрегацию, активацию и ингибирование активации тромбоцитов. Среди тромбоцитарных рецепторов можно выделить два основных семейства: ассоциированные с G-белками (PAR-1, PAR-4, P₂Y₁, P₂Y₁₂) и ассоциированные с тирозинкиназами (GP-VI, CLEC-2). В обоих семействах есть как рецепторы, обеспечивающие адгезию и агрегацию (основной – интегрин α IIb β 3), так и вызывающие активацию тромбоцита (ассоциированные с G_q и G_i белками или содержащие мотив ITAM), или, наоборот, повышающие порог активации (ассоциированные с G_s белками или содержащие мотив ITIM, например, PECAM-1) [2-4].

Рецепторные G-белки – семейство заякоренных в плазматической мембране с внутренней стороны гетеротримерных GTPаз, являющихся передатчиками сигнала у большинства клеток. G-белки состоят из трёх субъединиц, α , β и γ , их часто классифицируют по типу α -субъединицы (G_q, G_i, G_s и т.п.). Ассоциация связавшего лиганд рецептора с G-белком приводит к замещению GDP на GTP у α -субъединицы и её диссоциации из комплекса. G α -GTP остаётся заякорена в мембране и может диффундировать вдоль неё, приводя к активации мишеней, определяемых типом G-белка. Отдельно гетеродимер $\beta\gamma$ также может передавать сигналы, однако в тромбоците эта система мало изучена. Основной активирующий сигнал для тромбоцита состоит в активации G α q-субъединицей фосфолипазы C типа β (PLC β) и образованию инозитол-3-фосфата (IP₃) и диацилглицерола (DAG), приводящих к высвобождению ионов кальция из эндоплазматического ретикулума и активирующих протеинкиназу C (PKC) (рис. 1А). Эти два сигнала вместе приводят к реализации всех ответов тромбоцита на активацию. Активация G-белков также индуцирует активацию Rho-киназы, которые фосфорилируют лёгкие цепи миозина, и, таким образом, приводят к изменению формы цитоскелета [4, 5].

Принятые сокращения: Btk - тирозинкиназа Брутона; CD148 - трансмембранная фосфатаза 148; CLEC - лектин-подобный рецептор С-типа; COX-1 - циклооксигеназа 1; DAG - диацилглицерол; GP-VI - рецептор гликопротеин 6; GSK3 - киназа 3 гликогенсинтазы; IP₃ - инозитол-3,4,5-трисфосфат; ITAM/ITIM - тирозин-содержащий активирующий/ингибирующий мотив иммунорецепторов; LAT - соединительный адаптер Т-клеток; PAR - активируемые протеазами рецепторы; PI3K - фосфоинозитол-3-киназа; PIP-2/3 - фосфоинозитол-4,5-бисфосфат (3,4,5 трисфосфат); PKC - протеинкиназа C; PLAG - домен, стимулирующий агрегацию тромбоцитов; PLC γ 2 - фосфолипаза С-гамма 2; PTP1B - белковая тирозинфосфатаза 1B; RhoA-ROCK - ассоциированная с Rho протеинкиназа; SH - Src гомологичный домен; SHP - фосфатаза с Src гомологичным доменом; SFK - семейство Src-киназ; SLP-76 - содержащий SH-2 домен лейкоцитарный белок 76; Syk - тирозинкиназа селезёнки; TxA₂ - тромбоксан A₂.

* - адресат для переписки

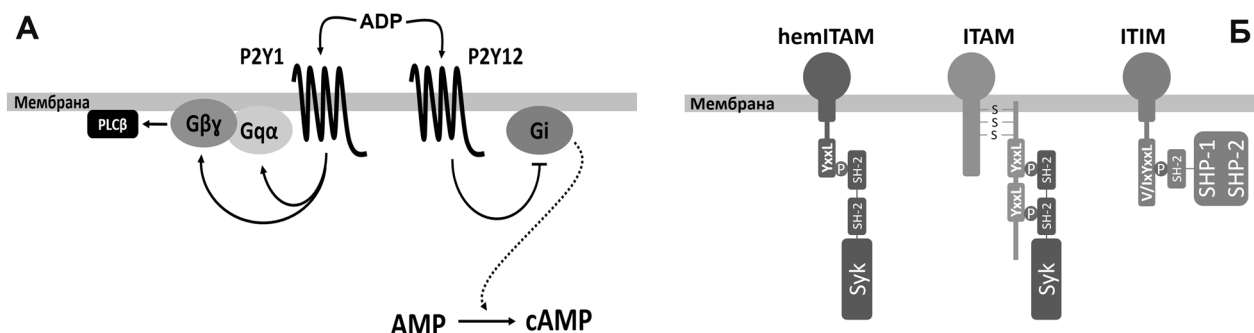


Рисунок 1. А - передача ADP-индуцированного сигнала в тромбоцитах через G-белки. Б - разные типы тирозин-содержащих мотивов в цитоплазматических доменах тромбоцитарных рецепторов и белков-адаптеров.

Ассоциированные с тирозинкиназами рецепторы несут в своих цитоплазматических доменах (или на ассоциированных с цитоплазматическими доменами цепях) иммунные тирозиновые мотивы. Выделяют три мотива (рис. 1Б): ITAM (тирозин-содержащий активирующий мотив иммунорецепторов), hemITAM (полу-ITAM), ITIM (тирозин-содержащий ингибирующий мотив иммунорецепторов) [6, 7]. Каждый из данных мотивов содержит тирозин, который становится доступным для фосфорилирования после связывания рецептора с молекулой активатора. ITAM состоит из двух тирозин-содержащих сигнальных последовательностей YxxL, тогда как hemITAM содержит только одну такую последовательность аминокислот [8]. ITIM-мотив аналогичен hemITAM, однако имеет в своём составе дополнительный валин или изолейцин перед тирозином. После того, как тирозин был фосфорилирован, к нему может присоединиться ряд белков-передатчиков (таких, как Syk, SFK, SHP-1/2 и т.д.), что приводит к дальнейшему распространению сигнала.

Некоторые из hemITAM и ITIM содержащих рецепторов принадлежат к рецепторам Dectin-1 кластера, которые содержат один лектин-подобный домен С-типа. Предполагается, что данное семейство рецепторов возникло в результате дупликации генов. Рецепторы Dectin-1 кластера связывают лиганды независимо от присутствия ионов кальция. Кластер Dectin-1 включает в себя CLEC-1, CLEC-2, Dectin-1, CLEC-9A, CLEC-12A, CLEC-12B, LOX-1. Большинство данных рецепторов может быть найдено на миелоидных клетках, таких как макрофаги и нейтрофилы [9].

Открытый в 2006 году тромбоцитарный рецептор CLEC-2 относится к семейству hemITAM-рецепторов [10, 11]. Показано, что при нарушениях взаимодействия CLEC-2 с подопланином, который экспрессируется эндотелиальными клетками лимфокапилляров, лимфатические сосуды у эмбрионов мышей оказываются заполнены кровью после 14-го дня развития эмбриона [12, 13]. Другой ролью CLEC-2, которую он выполняет совместно с ITAM рецептором к коллагену, GP-VI, является поддержание целостности сосудистых стенок микрокапилляров при воспалениях: при индукции воспаления липополисахаридами (ЛПС) у мышей с дефицитом

CLEC-2 и (или) GP-VI развивались геморрагии в лёгких [14]. Активация тромбоцитарного CLEC-2 неизвестным эндогенным лигандом способствует стабилизации тромбов в артериолах: при нарушениях в CLEC-2-индуцированной сигнализации или при дефиците CLEC-2 на поверхности тромбоцитов, формирование тромбоцитарного агрегата было нарушено при индуцированном $FeCl_3$ тромбозе [12, 15]. С другой стороны, продемонстрирована роль CLEC-2 в метастазировании ряда злокачественных опухолей (глиом, меланом) [12, 16, 17], развитии тромбозов глубоких вен при частичном стенозе сосуда [18], сепсисе [19].

Целью данного обзора была систематизация знаний о биохимических событиях, происходящих при активации CLEC-2 на поверхности тромбоцитов, а также анализ возможности использования тромбоцитарного CLEC-2 и участников его сигнального каскада в качестве мишеней при терапии заболеваний, развивающихся через рецептор CLEC-2 тромбоцитов.

1. АКТИВАТОРЫ CLEC-2

На сегодняшний день достоверно известно о существовании только одного эндогенного лиганда CLEC-2 – подопланина. Подопланин – трансмембранный гликопротеин I-го типа, который в человеческом организме представлен на поверхности клеток эндотелия лимфокапилляров, альвеолоцитов I-го типа, подоцитов почек, кардиомиоцитов и ретикулярных фибробластов [17]. При воспалении экспрессия подопланина обнаруживается на поверхности макрофагов [17, 19]. С другой стороны, известно, что клетки многих агрессивных злокачественных опухолей (плоскоклеточные карциномы, меланомы, глиомы) также экспонируют подопланин на своей поверхности – это способствует их ускоренной пролиферации и распространению метастазов [16, 20, 21].

Подопланин имеет в своём составе несколько функциональных доменов, называемых PLAG (Platelet Aggregation Stimulated Domain) [17]. Thr34 в PLAG1 и Thr52 в PLAG3 – важные для подопланин-зависимой агрегации тромбоцитов сайты O-гликозилирования [22, 23]. В отсутствие данной модификации подопланин не способен связать тромбоцитарный рецептор CLEC-2 [17].

Благодаря наличию аминокислотной последовательности KKxxR, подоплаин может ассоциироваться с эзрином и миезином – цитозольными белками семейства ERM, взаимодействующими с актином в местах контакта с цитоплазматической мембраной, и известными своим взаимодействием с CD44 (рецептор для гиалуроновой кислоты) [24]. Таким образом, при связывании подоплаина (экспонированного, например, на эндотелиальной клетке) и CLEC-2 (на тромбоците), происходит ассоциация цитоплазматических частей подоплаина с CD44 (на подоплаин-экспонирующей клетке) через ERM-белки. Это приводит к активации и увеличению подвижности экспрессирующих подоплаин клеток. Такой механизм работает для раковых стволовых клеток и клеток плоскоклеточных карцином. Подвижность подоплаин-экспонирующих клеток повышается, так как CD44 приводит к активации RhoA GTPаз и RhoA-ROCK, которые необходимы для сокращения кортикального актомиозина. Таким образом, взаимодействие CLEC-2-подоплаин-CD44 способствует ускорению движения клеток опухолей [17, 25]. Показано, что на поверхности клеток агрессивных злокачественных опухолей количества CD44 и подоплаина значительно увеличены [17, 20]. С другой стороны, при экспрессии CD9 (тетраспанина) на поверхности клеток злокачественных опухолей нарушается метастазирование. Это обусловлено тем, что CD9 может связываться с подоплаином своими трансмембранными доменами 1 и 2 – это приводит к тому, что последний не способен связываться с тромбоцитарным CLEC-2 (рис. 2) [17, 26].

Предполагается, что существуют и другие эндогенные активаторы CLEC-2 [18, 27]. Так, подоплаин не участвует в развитии тромбозов глубоких вен, вызванных стенозом

сосуда; однако у дефицитных по CLEC-2 мышей патологического состояния не развивается. Одним из претендентов на роль активатора CLEC-2 в данных условиях является цитозольный белок S100A13, секретируемый клетками сосудистого эндотелия, а также гладкомышечными клетками [18]. Известно, что он секретируется клетками гладкой мускулатуры сосудов в ответ на тепловой шок, окислительный стресс или гипоксию [28, 29].

In vitro показано, что адгезия тромбоцитов к подоплаину происходит при низких скоростях сдвига, соответствующих венозному кровотоку: 50–350 с⁻¹ [30]. При артериальных скоростях сдвига (>450 с⁻¹) адгезия тромбоцитов к подоплаину не происходит [30]. При добавлении ингибитора (лотрафибан) активации интегринов $\alpha IIb\beta 3$, являющихся основными адгезивными рецепторами тромбоцитов, адгезия к подоплаину сохраняется, однако, дальнейшего роста тромба на подложке не происходит [31]. Наконец, продемонстрировано, что адгезия тромбоцитов к подоплаину не происходит при ингибировании активности Syk- и SFK-тирозинкиназ, являющихся первичными мессенджерами внутриклеточного сигнала при связывании тромбоцитарного CLEC-2 с лигандами. Адгезия нарушается, но не прекращается при ингибировании PLC γ 2, Ras, сигнализации от вторичных мессенджеров активации ADP и TxA₂. Таким образом, можно сделать вывод, что основными регуляторами адгезии тромбоцитов к подоплаину являются Syk и SFK киназы [30, 31].

Известными экзогенными активаторами CLEC-2 являются родоцитин (белок, добываемый из яда малайской гадюки *Calloselasma rhodostoma*) [10, 32] и фукоидан, добываемый из бурых водорослей *Fucus vesiculosus* [33–35].

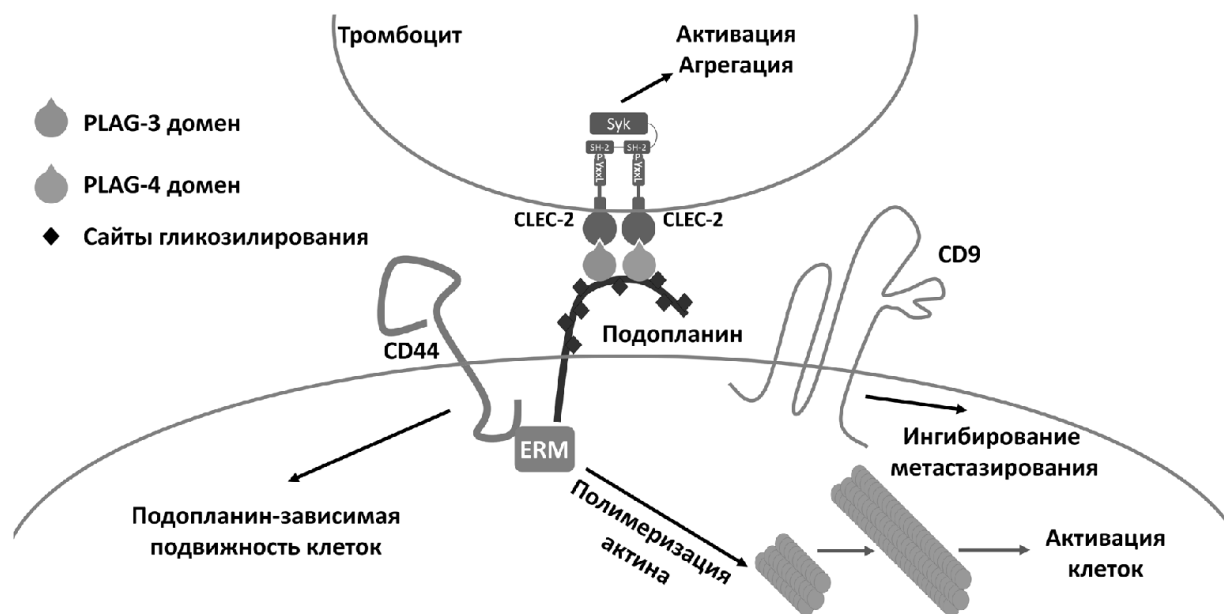


Рисунок 2. Молекулярные взаимодействия подоплаина. Подоплаин взаимодействует с рядом белков. Связывание подоплаина с CD44 и ERM приводит к ускорению клеточной миграции и перестроению актинового цитоскелета. Одновременно это активирует покоящиеся клетки. Связь CLEC-2 и CD9, наоборот, ингибирует метастазирование и связывание подоплаина с CLEC-2. Связывание тромбоцитарного CLEC-2 и подоплаина приводит к активации и агрегации тромбоцитов [17].

**2. ВНУТРИКЛЕТОЧНАЯ СИГНАЛИЗАЦИЯ
ОТ РЕЦЕПТОРА CLEC-2**

CLEC-2 – трансмембранный белок II-го типа, N-конец которого находится в цитоплазме тромбоцита, присутствует только один трансмембранный регион, а С-конец находится во внеклеточном пространстве [36]. Внеклеточный домен состоит из “ножки” и углевод-узнающего домена, лектин-подобного домена С-типа (CTLD) [36]. Цитоплазматический домен CLEC-2 состоит из 31 аминокислотного остатка и несёт в своём составе две функциональные последовательности: DED (Death-Effector Domain, один из доменов белков, участвующих в реализации запрограммированной гибели клеток) и расположенную на 7 аминокислотных остатков ниже последовательность YxxL (hemITAM) [37]. DED последовательность необходима для фосфорилирования остатка тирозина в hemITAM последовательности, но не для присоединения к нему SH-2 доменов участников сигнального каскада [37].

Важной для внутриклеточной сигнализации особенностью CLEC-2 является способность мономеров рецептора образовывать нековалентно связанные гомодимеры [36, 38]. На неактивированных тромбоцитах примерно треть рецепторов находится в димеризованном состоянии, а после активации CLEC-2 большинство молекул переходит в олигомеризованное состояние, что способствует образованию кластеров рецепторов [39].

Важную роль в CLEC-2-индуцированной сигнализации играют липидные рафты – микродомены в плазматической мембране, обогащённые холестерином и сигнальными молекулами [40]. При активации липидные рафты могут “слипаться” друг с другом [40-42], а CLEC-2 и GP-VI перемещаются в эту область, однако механизм транслокации пока неизвестен. Предполагается, что благодаря высокой концентрации холестерина молекулы рецептора “застревают” в области рафта. Высокая локальная концентрация мессенджеров приводит к усилению общего сигнала [40, 42]. Тем не менее, остаётся неясным, насколько важны липидные рафты для первичной или для вторичной сигнализации, индуцированной CLEC-2 [43, 44].

Образования кластеров CLEC-2 по неизвестному механизму зависит от Syk- и SFK-киназ, при этом Syk-зависимым оказалось образование крупных кластеров, тогда как небольшие кластеры образовывались за счёт активности SFK [30]. Предполагается, что влияние Syk и SFK на кластеризацию CLEC-2 является косвенным. Подопланин также образует кластеры на поверхности клеток лимфатического эндотелия при связывании с CLEC-2 [17, 27, 30]. Неизвестно, что является первичным: кластеризация CLEC-2 или кластеризация подопланина.

Основными участниками CLEC-2-индуцированной сигнализации в тромбоцитах являются семейства тирозинкиназ Syk и SFK [45-47]. Механизмы активации и Syk, и SFK опираются на фосфорилирование

по активационным сайтам, а также связывание с фосфотирозинами SH-2 или SH-3 доменов.

SFK представляют собой “градуированные переключатели”: в разных конформациях они проявляют разную активность. Изначально SFK находятся в автоингибированном фосфорилированном состоянии. При отщеплении ингибирующего фосфата под действием фосфатаз (CD148 или PTP1B) SFK-киназы переходят в полуактивное состояние [48, 49]. Затем они могут связаться SH-2 доменом с фосфорилированным остатком тирозина в цитоплазматическом сегменте CLEC-2 и увеличить свою активность. Наконец, SFK может дополнительно через SH-3 домен связать полипролин [50], что делает SFK полностью активными.

Syk-киназы являются переключателями типа “или”. Они могут быть активированы фосфорилированием тирозинового мотива в скрытом связывающем регионе (Y346). Данное фосфорилирование могут проводить SFK. С другой стороны, Syk могут связываться с фосфорилированными тирозинами hemITAM мотива двумя SH-2 доменами. Принципиально важным моментом является то, что оба SH-2 домена должны связаться с фосфотирозином. Связавшиеся Syk могут быть транс-автофосфорилированы или же фосфорилированы активными SFK, что переводит их в полностью активное состояние [50, 51].

Таким образом, можно утверждать, что в цитозоле тромбоцита изначально присутствуют активные участники сигнальных каскадов. Ведь в находящемся рядом с интактным эндотелием (покоящемся) тромбоците активны фосфатазы CD148, следовательно, SFK находятся в полуактивированном состоянии, и, в свою очередь, могут фосфорилировать Syk, приводя к их автоактивации [43] (рис. 3А).

Существует несколько моделей активации CLEC-2. Согласно первой, цитоплазматический домен CLEC-2 может быть фосфорилирован только Syk-киназами. Эта гипотеза была выдвинута на основе экспериментов с тромбоцитами мышей с выключенными генами двух из трёх основных белков семейства SFK. Фосфорилирование участников сигнального каскада CLEC-2 при этом нарушено не было. Аналогичные данные были получены и при нокауте CD148 [45]. С другой стороны, авторы не учитывали взаимозаменяемость киназ семейства SFK, а также роль тирозинфосфатазы PTP1B, которая могла заменить CD148 в ходе первичной активации SFK [48].

Согласно второй модели, CLEC-2 фосфорилируется только SFK. Известно, что при добавлении селективного ингибитора SFK 4-amino-5-(4-chlorophenyl)-7-(dimethylethyl)pyrazolo-3,4-pyrimidine (PP2), фосфорилирование цитоплазматического домена CLEC-2 не происходит [13, 35]. Также было показано, что селективные ингибиторы Btk и PI3K (ибрутиниб и вортманнин соответственно) нарушают фосфорилирование Syk, не нарушая фосфорилирование CLEC-2. На основе этого была выдвинута гипотеза, состоящая в том, что активация Syk в сигнальном каскаде CLEC-2 зависит от Btk и PI3K, тогда как фосфорилирование CLEC-2 проводится только SFK [47].

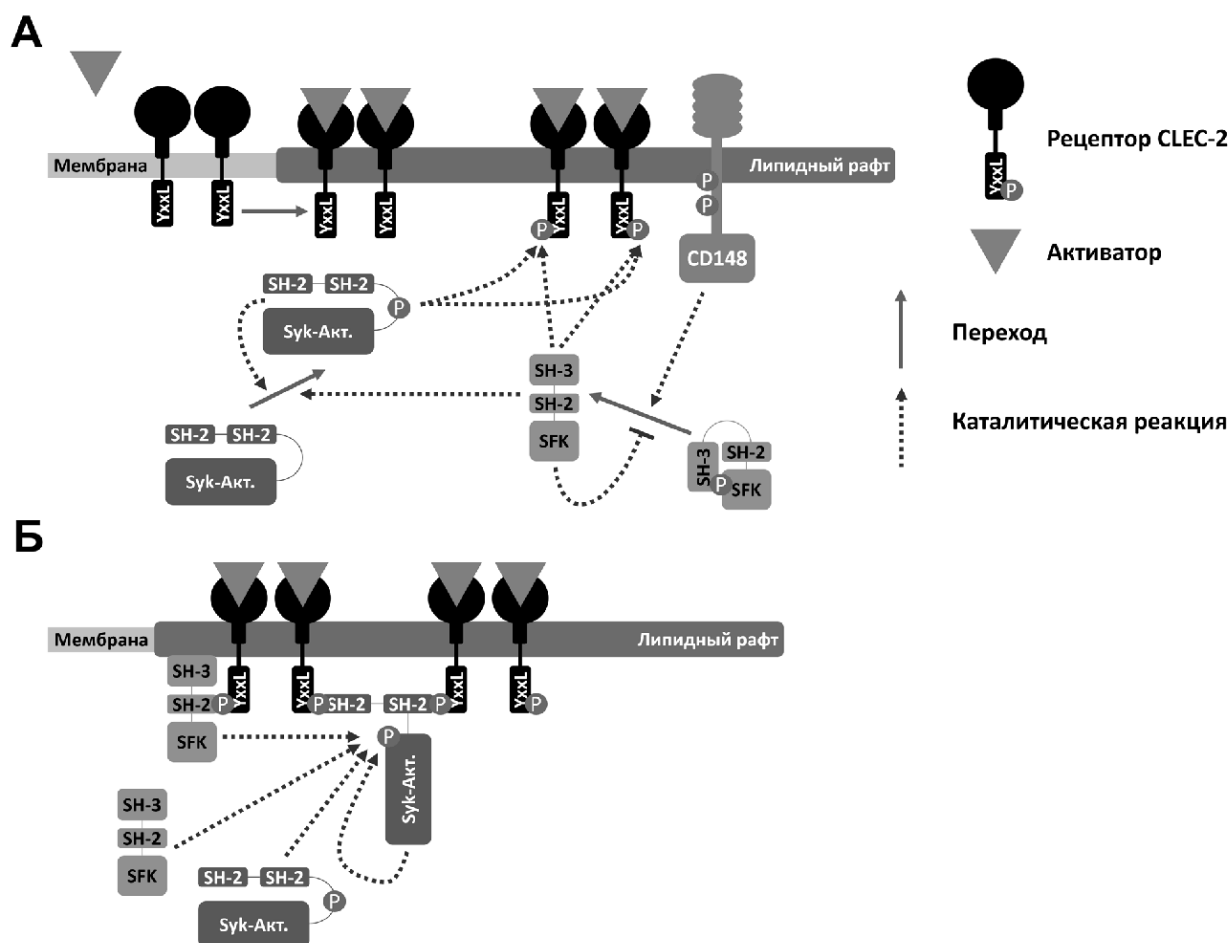


Рисунок 3. Последовательность сигнальных событий после активации тромбоцитов крови агонистами рецептора CLEC-2. **А** – в покое в тромбоците активны фосфатазы CD148, которые дефосфорилируют SFK и переводят их из аутоингибированного, в полуактивное состояние [48, 49, 64]. Затем SFK способны фосфорилировать покоящиеся Syk по Y346 в связывающем SH-2 домены и киназный домен регионе [13]. Аутофосфорилирование Syk выступает в качестве положительной обратной связи. После связывания и транслокации CLEC-2 в липидные рафты, тирозин в цитоплазматическом домене CLEC-2 может быть фосфорилирован: активными Syk киназами [13, 45]; SFK [47, 65, 69]; совместно Syk и SFK [52]. **Б** – после того тирозин в цитоплазматическом домене CLEC-2 был фосфорилирован, к нему одним SH-2 доменом могут присоединяться SFK (становятся полностью активными [50]) и двумя доменами SH-2 – Syk. После этого Syk должны дополнительно быть фосфорилированы по тирозину 525/26 активными Syk, полуактивными и активными SFK или же аутофосфорилированы. После этого Syk становятся полностью активными [50].

Согласно третьей модели активации, рецептор может быть фосфорилирован и Syk, и SFK. В пользу этой гипотезы выступает тот факт, что в присутствии селективных ингибиторов Syk (PRT318 [13], R406 [52]) фосфорилирование CLEC-2 после активации разными агонистами было нарушено. Аналогичные результаты были получены при модификации одного из SH-2 доменов Syk киназ, нарушавшей один из возможных путей активации Syk [13]. При построении компьютерной модели CLEC-2 индуцированной сигнализации в тромбоцитах нами также было показано, что только такой механизм позволяет описать существующие экспериментальные данные [53]. Все 3 модели активации CLEC-2 объединены на рисунке 3А.

После того, как внутриклеточные домены рецептора CLEC-2 становятся фосфорилированными, к ним присоединяются неактивные Syk и

полуактивные SFK SH-2 доменами. Это приводит к полной активации данных тирозинкиназ и усиливает начальный сигнал (рис. 3Б).

Рассмотрим дальнейшую цепочку сигнальных событий. Активные Syk-киназы фосфорилируют адаптерный белок LAT, к которому своими SH-2 доменами присоединяются PI3K и PLC γ 2 [54]. К фосфорилированным остаткам тирозина в цитоплазматическом домене LAT также присоединяются адаптерные белки BLNK, vav1/3, SLP-76. В случае дефицита этих молекул сигнализация от CLEC-2 значительно нарушается, однако, в отличие от дефицита Syk/SFK-киназ не прекращается полностью [55, 56]. *In vivo* показано, что дефицитные по SLP-76 тромбоциты не способны выполнять свои функции по защите стенок сосудов при воспалении [14]. PI3K становится полностью активной и превращает PIP $_2$ в PIP $_3$,

который вносит вклад в рост рафта [57, 58]. К $PI3K$ своим PH-доменом также присоединяется Btk. Таким образом, сигнальные белки оказываются сгруппированы в одной области [59]. К полипролину в аминокислотной последовательности Btk SH-3 доменом присоединяются SFK. Btk становятся полностью активными и через последовательность адаптерных белков, включающих BLNK, SLP-76, удерживающих $PLC\gamma 2$ в “раскрытой” конформации, проводят активацию $PLC\gamma 2$ [54, 60]. Положение Btk и $PI3K$ в сигнальном каскаде CLEC-2 является спорным, однако участие в активации $PLC\gamma 2$ продемонстрировано как для CLEC-2, так и для GP-VI [61]. Активная $PLC\gamma 2$ гидролизует PIP_2 , производя вторичные мессенджеры сигнализации IP_3 и DAG (рис. 4) [5]. IP_3 способствует выходу свободных ионов Ca^{2+} из ЭПР тромбоцитов, а DAG выступает в роли активатора нескольких изоформ PKC. PKC и Ca^{2+} активируют фактор обмена гуаниновых нуклеотидов CalDAG-GEFI, стимулирующий обмен GDP на GTP в активном центре малой растворимой GTPазы Rap1b. Это приводит к активации Rap1b, что, в свою очередь, способствует активации тромбоцитарных интегринов $\alpha IIb\beta 3$, аффинность которых к фибриногену увеличивается. Другим функциональным ответом тромбоцитов на активацию кальциевой сигнализации является секреция содержимого плотных гранул (содержащих ADP, ATP, Ca^{2+} , серотонин) и α -гранул (содержащих IGF-1, PDGF, TGF β , PF4, тромбоспондин, фибриноген, фибронектин и другие белки, участвующие в свёртывании крови), также регулируемая PKC. При α -дегрануляции тромбоцитов происходит выставление на их поверхность P-селектина [5, 62, 63].

Производимый активной $PI3K$ PIP_3 приводит к активации серин/треониновой киназы Akt, осуществляющей фосфорилирование более 100 мишеней, включая GSK3 α/β . Активные формы GSK3 α/β являются отрицательными регуляторами активации тромбоцитов. Фосфорилирование GSK3 α/β Akt приводит к инактивации GSK3 α/β . Многократно было показано, что ингибирование активности GSK3 α/β (такими ингибиторами как LiCl, SB216763) потенцирует активацию тромбоцитов [54]. При стимуляции агонистом CLEC-2

родоцитином также происходит потенцирование активации тромбоцитов. С другой стороны, ингибирование активации Akt PD0325901 приводило к значительному ингибированию агрегации тромбоцитов [60]. Влияние ингибиторов Akt может быть компенсировано ингибиторами GSK3 α/β : последнее свидетельствует о том, что при активации CLEC-2 именно GSK3 α/β является основной мишенью Akt [60].

Активация тромбоцитов через CLEC-2 зависит от вторичных медиаторов активации – ADP и TxA₂ [43]. В результате активации CLEC-2 и выхода ADP (в составе плотных гранул), а также TxA₂ (в результате активации COX-1) оказываются задействованы рецепторы TP (рецептор к TxA₂) и P₂Y₁ (пуринергический рецептор ADP) [3]. При стимуляции TP и P₂Y₁ оказываются задействованы Gq белки, которые передают сигнал на PKC α . В свою очередь, PKC α может активировать ряд фосфатаз, которые будут переводить SFK [48, 49, 64] в полуактивное состояние и таким образом усиливать активацию CLEC-2 [65]. Схема вторичной сигнализации при активации CLEC-2 и взаимосвязь первичной и вторичной сигнализаций от рецептора CLEC-2 приведены на рисунке 5.

3. ПЕРСПЕКТИВЫ ИСПОЛЬЗОВАНИЯ УЧАСТНИКОВ СИГНАЛЬНОГО КАСКАДА CLEC-2 КАК МИШЕНЕЙ ДЛЯ ЛЕКАРСТВЕННОЙ ТЕРАПИИ

Так как роль CLEC-2 в развитии ряда заболеваний была достоверно продемонстрирована как *in vitro*, так и *in vivo*, активно ведётся разработка лекарственных препаратов, мишенью которых является данный тромбоцитарный рецептор или участники его сигнального каскада. Показана эффективность блокирующих антител к рецептору CLEC-2 тромбоцитов (клон 2CP) для предотвращения метастазирования меланом у мышей. Наибольшую эффективность 2CP проявил в комбинации с цитотоксическим препаратом цисплатином. Аналогично, эффективным оказалось антитело 2A2B10 [20, 21].

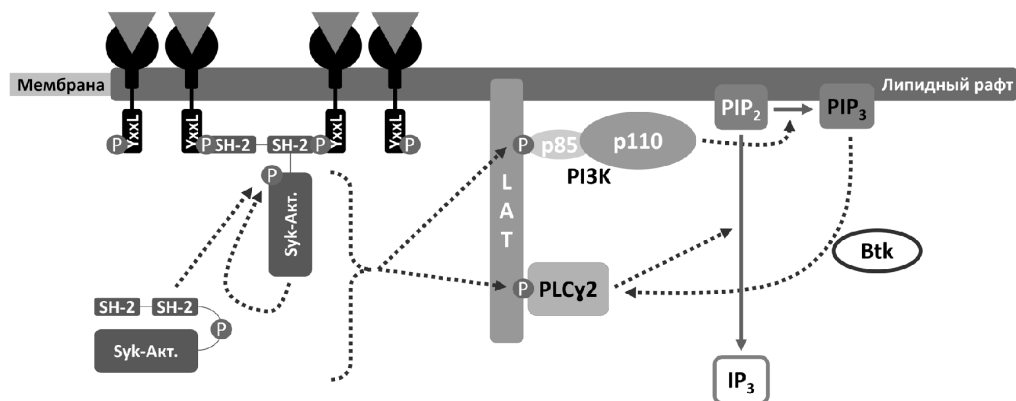


Рисунок 4. Сигнальный каскад CLEC-2 после активации Syk киназ. Активные Syk фосфорилируют белок-адаптер LAT. К нему присоединяются $PLC\gamma 2$ и $PI3K$. $PI3K$ производит PIP_3 из PIP_2 . К PIP_3 присоединяются Btk, что делает их активными. Btk активирует связанные с LAT $PLC\gamma 2$, которые запускают производство IP_3 из PIP_2 .

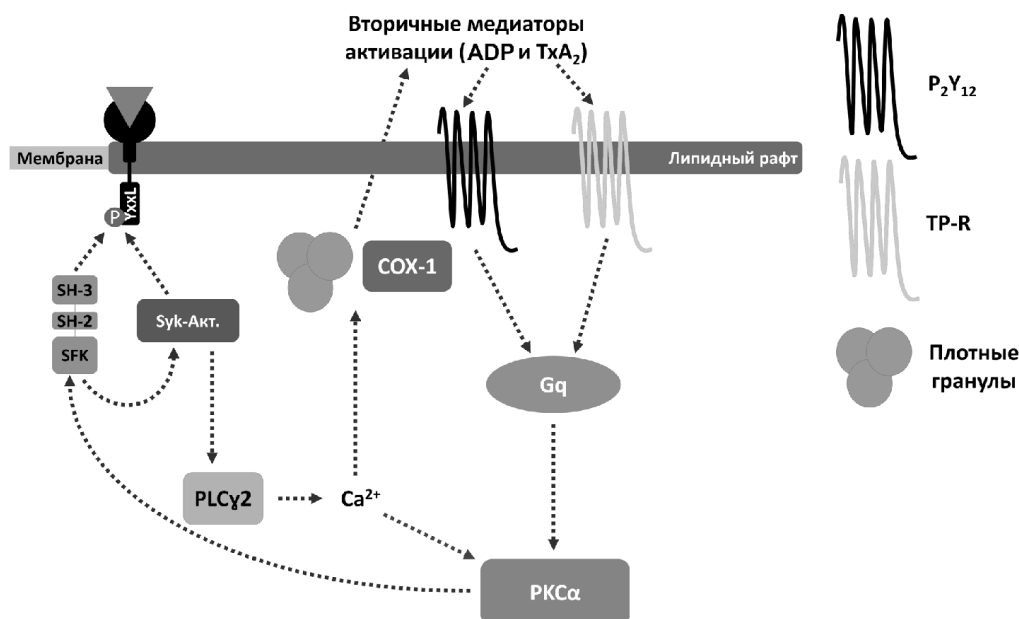


Рисунок 5. После запуска первичного сигнального каскада в результате выхода вторичных медиаторов активации тромбоцитов ADP и TxA₂ и лигирования соответствующих рецепторов, происходит активация PKCα, которая передаёт сигнал на SFK, многократно усиливая первичную активацию тромбоцитов.

Одним из перспективных соединений для терапии CLEC-2 зависимых заболеваний является ингибитор Syk-тирозинкиназ – фостаматиниб. Показано, что R406 – метаболит данного препарата, с высокой степенью эффективности предотвращает CLEC-2-индуцированную активацию тромбоцитов. Также важно заметить, что предотвращение активации CLEC-2 достигается при низких концентрациях R406. Таким образом, можно предположить, что при использовании низких дозировок фостаматиниба селективность воздействия препарата на тромбоцитарный CLEC-2 будет значительно выше [13, 66].

Наконец, в связи с тем, что агрегация тромбоцитов, индуцированная CLEC-2, зависит от вторичных медиаторов активации, можно использовать препараты, направленные на ингибирование вторичной сигнализации от ADP (клопидогрел, тикагрелор, тиклопедин) и TxA₂ (аспирин). Важно отметить, что влияние вторичных медиаторов активации будет значительно снижено при выполнении тромбоцитами задач по защите сосудистых стенок микрокапилляров при воспалениях [43, 44, 65].

Введение антител к тромбоцитарному рецептору CLEC-2 предотвращает развитие тромбозов глубоких вен при искусственном стенозе нижней полой вены у мышей [18]. Аналогично, при нарушении активации CLEC-2 не происходит развития дессиминированного внутрисосудистого свёртывания у мышей, которым вводили бактерии *Salmonella typhimurium* [19].

ЗАКЛЮЧЕНИЕ

Рецептор CLEC-2 тромбоцитов, наравне с элементами его сигнального каскада, является перспективной мишенью для антитромбоцитарной терапии при онкологических заболеваниях, тромбозах

глубоких вен и сепсисе. Связывание эндогенных (подопланин, A100S13) или экзогенных (родоцитин, фукоидан) лигандов с рецептором CLEC-2 предположительно приводит к его концентрации в области липидных рафтов, способствующей активации. В цитоплазматическом домене связанного с лигандом CLEC-2 становится доступной для фосфорилирования по тирозину последовательность аминокислот YxxL, называемая hemITAM. Это запускает передачу сигнала, благодаря активируемому тирозинкиназам Syk и SFK, которые ассоциируются с фосфорилированным остатком тирозина, что приводит к их полноценной активации. Активные тирозинкиназы фосфорилируют мембранный белок-адаптер LAT, с которым ассоциируется и таким образом активируется PLCγ2. PLCγ2 катализирует образование IP₃ и DAG – важных вторичных мессенджеров активации, приводящих к выходу ионов кальция из эндоплазматического ретикула. Активация тромбоцитов лигандами CLEC-2 также зависит от секретируемых медиаторов вторичной активации – ADP (в составе плотных гранул) и TxA₂ (образующимся при участии COX-1).

С другой стороны, положение ряда белков в сигнальном каскаде неизвестно. Так, предполагается, что Btk и PI3K могут как приводить к активации Syk после активации SFK, так и участвовать в активации PLCγ2 [44]. Одним из используемых в настоящее время в терапии лейкозов препаратов, в качестве побочного действия влияющий на тромбоциты, является селективный ингибитор Btk/Тес киназ – ибрутиниб [67]. Для предотвращения побочного действия ибрутиниба на CLEC-2 индуцированную сигнализацию в тромбоцитах, для которой существенную роль играет Btk, исключительно важно уточнение положения Btk и PI3K в сигнальном каскаде CLEC-2.

Роли тромбоцитарного рецептора СЛЕС-2 продолжают уточняться. Однако уже сейчас во многих работах показана важность активации СЛЕС-2 его эндогенным лигандом подопланином для предотвращения смещения крови и лимфы у эмбрионов [12, 13, 68], а также для защиты стенок венул с высоким эндотелием при экстравазации лимфоцитов в случае воспалений [14].

В данном обзоре рассмотрены биохимические события, происходящие после связывания лиганда тромбоцитарного рецептора СЛЕС-2 и приводящие к дальнейшим функциональным ответам тромбоцитов. Приведены 3 модели, описывающие внутриклеточные события, происходящие после активации СЛЕС-2, а также разобраны дальнейшие события. Благодаря этому, возможно более точное предсказание терапевтических мишеней, среди которых возможно выделить сам рецептор СЛЕС-2, Сук-тирозинкиназы, Вtk, а также вторичные медиаторы активации (ADP и ТхА₂). Также освещены наиболее перспективные подходы к фармакологическому воздействию на СЛЕС-2 индуцированную активацию тромбоцитов в контексте онкологических заболеваний, тромбозов глубоких вен, сепсиса.

БЛАГОДАРНОСТИ

Авторы благодарны профессору Е.В. Самочатовой (Национальный Медицинский Исследовательский Центр Детской Гематологии, Онкологии и Иммунологии им. Дмитрия Рогачёва), а также профессору S.P. Watson (Intitute of Cardiovascular Sciences and Cellular Pharmacology, Birmingham) за плодотворные обсуждения при выполнении данной работы. Работа выполнена при финансовой поддержке Российского фонда фундаментальных исследований (гранты 17-54-04009 и 17-00-00138), а также гранта Президента РФ для молодых ученых МД-229.2017.4.

ЛИТЕРАТУРА

1. Гайтон А., Холл Дж. (2008) Медицинская физиология, Логосфера, Москва (перевод с английского).
2. Tuteja N. (2009) Plant Signaling & Behavior, Landes Bioscience, **4**, 942-947.
3. Kauskot A., Hoylaerts M.F. (2012) Handbook of Experimental Pharmacology, Germany, pp. 23-57. DOI: 10.1007/978-3-642-29423-5_2.
4. Шатурный В.И., Шахиджанов С.С., Свешикова А.Н., Пантелеев М.А. (2014) Биомед. химия, **60**, 182-200. DOI: 10.18097/PBMC20146002182.
5. Sveshnikova A.N., Balatskiy A.V., Demianova A.S., Shepelyuk T.O., Shakhidzhanov S.S., Balatskaya M.N., Pichugin A.V., Ataullakhanov F.I., Panteleev M.A. (2016) J. Thromb. Haemost., **14**, 2045-2057. DOI: 10.1111/jth.13442.
6. Watson S.P., Asazuma N., Atkinson B., Berlanga O., Best D., Bobe R., Jarvis G., Marshall S., Snell D., Stafford M., Tulasne D., Wilde J., Wonerow P., Frampton J. (2001) Thrombosis and Haemostasis, **86**, 276-288.
7. Abram C.L., Lowell C.A. (2007) Science STKE, **2007**, re2 LP-re2. DOI: 10.1126/stke.3772007re2.
8. Lee R.H., Bergmeier W. (2016) J. Thromb. Haemost., **14**, 645-654. DOI: 10.1111/jth.13250.

9. Plato A., Willment J.A., Brown G.D. (2013) Int. Rev. Immunol., **32**, 134-156. DOI: 10.3109/08830185.2013.777065.
10. Suzuki-Inoue K., Kato Y., Inoue O., Mika K.K., Mishima K., Yatomi Y., Yamazaki Y., Narimatsu H., Ozaki Y. (2007) J. Biol. Chem., **282**, 25993-26001. DOI: 10.1074/jbc.M702327200.
11. Watson S.P., Herbert J.M.J., Pollitt A.Y. (2010) J. Thromb. Haemost., **8**, 1456-1467. DOI: 10.1111/j.1538-7836.2010.03875.x.
12. Suzuki-Inoue K., Osada M., Ozaki Y. (2017) J. Thromb. Haemost., **15**, 219-229. DOI: 10.1111/jth.13590.
13. Hughes C.E., Finney B.A., Koentgen F., Lowe K.L., Watson S.P. (2015) Blood, **125**, 144-155. DOI: 10.1182/blood-2014-05-579375.
14. Boulaftali Y., Hess P.R., Getz T.M., Chalka A., Stolla M., Mackman N., Owens A.P., Ware J., Kahn M.L., Bergmeier W. (2013) J. Clin. Invest., **123**, 908-916. DOI: 10.1172/JCI65154.
15. Haining E.J., Cherpokova D., Wolf K., Becker I.C., Beck S., Eble J.A., Stegner D., Watson S.P., Nieswandt B. (2017) Blood, **130**, 2224-2228. DOI: 10.1182/blood-2017-03-771907.
16. Shirai T., Inoue O., Tamura S., Tsukiji N., Sasaki T., Endo H., Satoh K., Osada M., Sato-Uchida H., Fujii H., Ozaki Y., Suzuki-Inoue K. (2017) J. Thromb. Haemost., **15**, 513-525. DOI: 10.1111/jth.13604.
17. Astarita J.L., Acton S.E., Turley S.J. (2012) Front. Immunol., **3**, 1-11. DOI: 10.3389/fimmu.2012.00283.
18. Payne H., Ponomaryov T., Watson S.P., Brill A. (2016) Blood, **129**, 2013-2020. DOI: 10.1182/blood-2016-09-742999.
19. Hitchcock J.R., Cook C.N., Bobat S., Ross E.A., Flores-Langarica A., Lowe K.L., Khan M., Coral Dominguez-Medina C., Lax S., Carvalho-Gaspar M., Hubscher S. et al. (2015) J. Clin. Invest., **125**, 4429-4446. DOI: 10.1172/JCI79070.
20. Takemoto A., Miyata K., Fujita N. (2017) Cancer Metastasis Rev., **36**, 225-234. DOI: 10.1007/s10555-017-9672-2.
21. Sekiguchi T., Takemoto A., Takagi S., Takatori K., Sato S., Takami M., Fujita N. (2016) Oncotarget, **7**, 3934-3946. DOI: 10.18632/oncotarget.6598.
22. Kato Y., Fujita N., Kunita A., Sato S., Kaneko M., Osawa M., Tsuruo T. (2003) J. Biol. Chem., **278**, 51599-51605. DOI: 10.1074/jbc.M309935200.
23. Kaneko M.K., Kato Y., Kitano T., Osawa M. (2006) Gene, **378**, 52-57. DOI: 10.1016/j.gene.2006.04.023.
24. Astarita J.L., Cremasco V., Fu J., Darnell M.C., Peck J.R., Nieves-Bonilla J.M., Song K., Kondo Y., Woodruff M.C., Gogineni A., Onder L., Ludwig B., Weimer R.M., Carroll M.C., Mooney D.J., Xia L., Turley S.J. (2015) Nat. Immunol., **16**(1), 75-84. DOI: 10.1038/ni.3035.
25. Martín-Villar E., Ferna B., Parsons M., Yurrita M.M., Megías D., Pérez-Gómez E., Jones G.E., Quintanilla M. (2010) Mol. Biol. Cell, **21**, 4387-4399. DOI: 10.1091/mbc.E10-06-0489.
26. Acton S.E., Astarita J.L., Malhotra D., Lukacs-Kornek V., Franz B., Hess P.R., Jakus Z., Kuligowski M., Fletcher A.L., Elpek K.G. et al. (2012) Immunity, Cell Press, **37**, 276-289. DOI: 10.1016/j.immuni.2012.05.022.
27. Suzuki-Inoue K., Osada M., Ozaki Y. (2017) J. Thromb. Haemost., **15**, 219-229. DOI: 10.1111/jth.13590.
28. Inoue O., Hokamura K., Shirai T., Osada M., Tsukiji N., Hatakeyama K., Umemura K., Asada Y., Suzuki-Inoue K., Ozaki Y. (2015) PLoS ONE, **10**, 1-28. DOI: 10.1371/journal.pone.0139357.
29. Imai F.L., Nagata K., Yonezawa N., Nakano M., Tanokura M. (2008) Acta Crystallographica. Section F, Structural biology and crystallization communications, **64**, 70-76. DOI: 10.1107/S1744309107068236.

30. Pollitt A.Y., Poulter N.S., Gitz E., Navarro-Núñez L., Wang Y.J., Hughes C.E., Thomas S.G., Nieswandt B., Douglas M.R., Owen D.M., Jackson D.G., Dustin M.L., Watson S.P. (2014) *J. Biol. Chem.*, **289**, 35695-35710. DOI: 10.1074/jbc.M114.584284.
31. Navarro-Núñez L., Pollitt A.Y., Lowe K., Latif A., Nash G.B., Watson S.P. (2015) *Thromb. Haemost.*, **113**(5), 1109-1120. DOI: 10.1160/TH14-09-0762.
32. Watson A.A., Eble J.A., O'Callaghan C.A. (2008) *Protein Science*, **17**, 1611-1616. DOI: 10.1110/ps.035568.108.
33. Ustyuzhanina N.E., Bilan M.I., Gerbst A.G., Ushakova N.A., Tsvetkova E.A., Dmitrenko A.S., Usov A.I., Nifantiev N.E. (2016) *Carbohydrate Polymers.*, **136**, 826-833. DOI: 10.1016/j.carbpol.2015.09.102.
34. Cumashi A., Ushakova N.A., Preobrazhenskaya M.E., D'Incecco A., Piccoli A., Totani L., Tinari N., Morozovich G.E., Berman A.E., Bilan M.I. et al. (2007) *Glycobiology*, **17**, 541-552. DOI: 10.1093/glycob/cwm014.
35. Manne B.K., Getz T.M., Hughes C.E., Alshehri O., Dangelmaier C., Naik U.P., Watson S.P., Kunapuli S.P. (2013) *J. Biol. Chem.*, **288**, 7717-7726. DOI: 10.1074/jbc.M112.424473.
36. Watson A.A., Christou C.M., James J.R., Fenton-May A.E., Moncayo G.E., Mistry A.R., Davis S.J., Gilbert R.J.C., Chakera A., O'Callaghan C.A. (2009) *Biochemistry*, **48**, 10988-10996. DOI: 10.1021/bi901427d.
37. Hughes C.E., Sinha U., Pandey A., Eble J.A., O'Callaghan C.A., Watson S.P. (2013) *J. Biol. Chem.*, **288**, 5127-5135. DOI: 10.1074/jbc.M112.411462.
38. Hughes C.E., Navarro-Núñez L., Finney B.A., Mourão-Sá D., Pollitt A.Y., Watson S.P. (2010) *J. Thromb. Haemost.*, **8**, 2328-2332. DOI: 10.1111/j.1538-7836.2010.04006.x.
39. Hughes C.E., Pollitt A.Y., Mori J., Eble J.A., Tomlinson M.G., Hartwig J.H., O'Callaghan C.A., Fütterer K., Watson S.P. (2010) *Blood*, **115**, 2947-2955. DOI: 10.1182/blood-2009-08-237834.
40. Bodin S., Tronchire H., Payrastra B. (2003) *Biochim. Biophys. Acta - Biomembranes*, **1610**, 247-257. DOI: 10.1016/S0005-2736(03)00022-1.
41. Locke D., Chen H., Liu Y., Liu C., Kahn M.L. (2002) *J. Biol. Chem.*, **277**, 18801-18809. DOI: 10.1074/jbc.M111520200.
42. Pike L.J. (2009) *J. Lipid Res.*, **50**, S323-S328. DOI: 10.1194/jlr.R800040-JLR200.
43. Pollitt A.Y., Grygielska B., Leblond B., Désiré L., Eble J.A., Watson S.P. (2010) *Blood*, **115**, 2938-2946. DOI: 10.1182/blood-2009-12-257212.
44. Manne B.K., Badolia R., Dangelmaier C.A., Kunapuli S.P. (2015) *Biochemical Pharmacology*, Elsevier Inc., **93**, 163-170. DOI: 10.1016/j.bcp.2014.11.005.
45. Severin S., Pollitt A.Y., Navarro-Núñez L., Nash C.A., Mourão-Sá D., Eble J.A., Senis Y.A., Watson S.P. (2011) *J. Biol. Chem.*, **286**, 4107-4116. DOI: 10.1074/jbc.M110.167502.
46. Fuller G.L.J., Williams J.A.E., Tomlinson M.G., Eble J.A., Hanna S.L., Pöhlmann S., Suzuki-Inoue K., Ozaki Y., Watson S.P., Pearce A.C. (2007) *J. Biol. Chem.*, **282**, 12397-12409. DOI: 10.1074/jbc.M609558200.
47. Manne B.K., Badolia R., Dangelmaier C., Eble J.A., Ellmeier W., Kahn M., Kunapuli S.P. (2015) *J. Biol. Chem.*, **290**, 11557-11568. DOI: 10.1074/jbc.M114.629527.
48. Mori J., Wang Y.J., Ellison S., Heising S., Neel B.G., Tremblay M.L., Watson S.P., Senis Y.A. (2012) *Arterioscler. Thromb. Vascular Biol.*, **32**, 2956-2965. DOI: 10.1161/ATVBAHA.112.300447.
49. Senis Y.A., Tomlinson M.G., Ellison S., Mazharian A., Lim J., Zhao Y., Kornerup K.N., Auger J.M., Thomas S.G., Dhanjal T., Kalia N., Zhu J.W., Weiss A., Watson S.P. (2009) *Blood*, **113**, 4942-4954. DOI: 10.1182/blood-2008-08-174318.
50. Bradshaw J.M. (2010) *Cellular Signalling*, Elsevier Inc., **22**, 1175-1184. DOI: 10.1016/j.cellsig.2010.03.001.
51. Tsang E., Giannetti A.M., Shaw D., Dinh M., Tse J.K.Y., Gandhi S., Ho A., Wang S., Papp E., Bradshaw J.M. (2008) *J. Biol. Chem.*, **283**, 32650-32659. DOI: 10.1074/jbc.M806340200.
52. Spalton J.C., Mori J., Pollitt A.Y., Hughes C.E., Eble J.A., Watson S.P. (2009) *J. Thromb. Haemost.*, **7**, 1192-1199. DOI: 10.1111/j.1538-7836.2009.03451.x.
53. Martyanov A.A., Balabin F.A., Dunster J.L., Panteleev M.A., Gibbins J.M., Sveshnikova A.N. [in press] *Biochim. Biophys. Acta - General Subject*.
54. Moroi A.J., Watson S.P. (2015) *Biochem. Pharmacol.*, **94**, 186-194. DOI: 10.1016/j.bcp.2015.02.004.
55. Fuller G.L.J., Williams J.A.E., Tomlinson M.G., Eble J.A., Hanna S.L., Pöhlmann S., Suzuki-Inoue K., Ozaki Y., Watson S.P., Pearce A.C. (2007) *J. Biol. Chem.*, **282**, 12397-12409. DOI: 10.1074/jbc.M609558200.
56. Eble J.A., Po S., Inoue O., Gartner T.K., Hugan S.C., Pearce A.C., Laing G.D., Theakston R.D.G., Schweighoffer E., Zitzmann N., Morita T., Tybulewicz V.L.J., Ozaki Y., Watson S.P. (2016) *Blood*, **107**, 542-550.
57. Scheid M.P., Marignani P.A., Woodgett J.R. (2002) *Mol. Cell. Biol.*, **22**, 6247-6260. DOI: 10.1128/MCB.22.17.6247.
58. Wang J., Richards D.A. (2012) *Biology Open*, **1**, 857-862. DOI: 10.1242/bio.20122071.
59. Hyvönen M., Saraste M. (1997) *EMBO J.*, **16**, 3396 LP-3404.
60. Moroi A.J., Watson S.P. (2015) *J. Thromb. Haemost.*, **13**, 1139-1150. DOI: 10.1111/jth.12954.
61. Gibbins J.M., Briddon S., Shutes A., Van Vugt M.J., Van De Winkel J.G.J., Saito T., Watson S.P. (1998) *J. Biol. Chem.*, **273**, 34437-34443. DOI: 10.1074/jbc.273.51.34437.
62. Cook A.A., Deng W., Ren J., Li R., Sondek J., Bergmeier W. (2018) *J. Biol. Chem.*, **293**, 8521. DOI: 10.1074/jbc.RA118.002712.
63. Ma Y.Q., Qin J., Plow E.F. (2007) *J. Thromb. Haemost.*, **5**, 1345-1352. DOI: 10.1111/j.1538-7836.2007.02537.x.
64. Musumeci L., Kuipers M.J., Gilio K., Hego A., Théâtre E., Maurissen L., Vandereyken M., Diogo C.V., Lecut C., Guilmain W. et al. (2015) *Circulation*, **131**, 656-668. DOI: 10.1161/CIRCULATIONAHA.114.010186.
65. Badolia R., Inamdar V., Manne B.K., Dangelmaier C., Eble J.A., Kunapuli S.P. (2017) *J. Biol. Chem.*, **292**, 14516-14531. DOI: 10.1074/jbc.M117.791012.
66. Geahlen R.L. (2015) *Trends Pharmacol. Sci.*, **35**, 414-422. DOI: 10.1016/j.tips.2014.05.007.
67. Akinleye A., Chen Y., Mukhi N., Song Y., Liu D. (2013) *J. Hematol. Oncol.*, BioMed Central, **6**, 59. DOI: 10.1186/1756-8722-6-59.
68. Ozaki Y., Tamura S., Suzuki-Inoue K. (2016) *Thrombosis J.*, **14**, 27. DOI: 10.1186/s12959-016-0099-8.
69. Mukherjee S., Zhu J., Zikherman J., Parameswaran R., Kadlecsek T.A., Wang Q., Au-Yeung B., Ploegh H., Kuriyan J., Das J., Weiss A. (2013) *Science Signaling*, **6**, ra1 LP-ra1. <http://stke.sciencemag.org/content/6/256/ra1.abstract>.

Поступила: 07. 08. 2018.
Принята к печати: 01. 10. 2018.

CLEC-2 INDUCED SIGNALLING IN BLOOD PLATELETS

A.A. Martyanov^{1,2}, V.N. Kaneva^{1,3}, M.A. Pantelev^{2,3}, A.N. Sveshnikova^{1,2}*

¹Faculty of Physics, Lomonosov Moscow State University,

1/2 Leninskie gory, Moscow, 119991 Russia; *e-mail: aa.martyanov@physics.msu.ru

²Center for Theoretical Problems of Physicochemical Pharmacology, Moscow, 119991 Russia

³Rogachev National Scientific and Practical Centre of Pediatric Hematology, Oncology and Immunology,
Moscow, 117198 Russia

Platelet activating receptor CLEC-2 has been identified on platelet surface a decade ago. The only confirmed endogenous CLEC-2 agonist is podoplanin. Podoplanin is a transmembrane protein expressed by lymphatic endothelial cells, reticular fibroblastic cells in lymph nodes, kidney podocytes and by cells of certain tumors. CLEC-2 and podoplanin are involved in the processes of embryonic development (blood-lymph vessel separation and angiogenesis), maintaining of vascular integrity of small vessels during inflammation and prevention of blood-lymphatic mixing in high endothelial venules. However, CLEC-2 and podoplanin are contributing to tumor methastasis progression, *Salmonella* sepsis, deep-vein thrombosis. CLEC-2 signalling cascade includes tyrosine-kinases (Syk, SFK, Btk) as well as adapter LAT and phospholipase C γ 2, which induces calcium signalling. CLEC-2, podoplanin and proteins, participating in CLEC-2 signalling cascade, are perspective targets for antithrombotic therapy.

Key words: platelet; CLEC-2 receptor; tyrosine kinases; lymphangiogenesis; methastasis; podoplanin